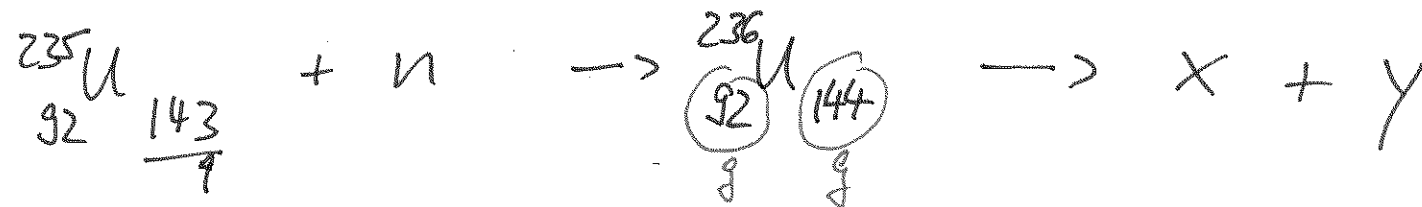


Uran Spaltung

(1)

U-Spalting ist möglich durch n-Absorption



Energieabschuss durch Bildung eines gg-Kerns;

Zur n-Erfang an Kerne mit ungünstiger Neutronen Zahl wird Parrysenergie (zusätzlich) frei:



Spaltung mit thermischen Neutronen möglich



zusätzliche kinetische Energie notwendig
„schnelle Neutronen“

Energiebilanz bei Spaltung

für $A \geq 200$ ist $B/A \approx 7,5 \text{ MeV}$

„Spaltprodukte“ ist $B/A \approx 8,5 \text{ MeV}$

\Rightarrow freigesetzte Energie ca. 200 MeV / Spaltung

Neutronen Emission $\sim 2,5 \text{ n/Sekung}$

②

n-Verschaffung (prompt Neutronen) $\sim 99\%$

Zeitskala

$\sim 10^{-13} \text{ s}$

β -verzögerte Neutronen

$\sim 1\%$



Zeitskala $\sim \text{sec} \sim \text{nm}$

(β -Zeitkell, schw. wo)

\Rightarrow Replay v. Kettenreaktionen

Aufbau d. Kerne

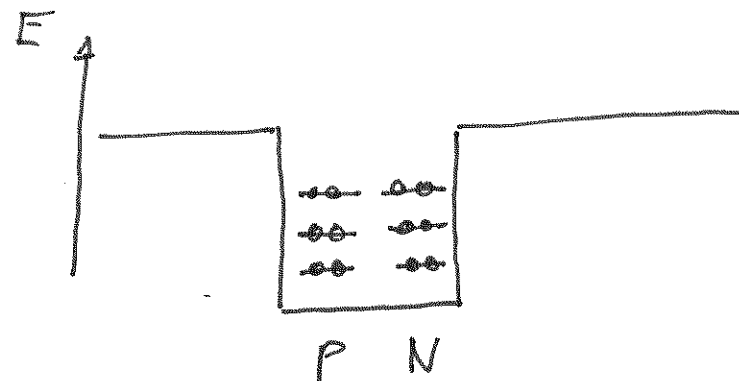
Fermigasmodell: N, P bewegen sich unabhängig von starken
zu den gemeinsamen aufziehenden Potentia.

Spin- $\frac{1}{2}$ Teilchen: Pauli-Prinzip

Anmache: Nukleonen können sich in
Kernvolumen frei bewegen. Potential ist
Überlappung der Potentiale der übrige Nukleone

Einfachheitshalber : Potentieltopf mit „scharfen“ Rändern

(3)



Zahl der möglichen Zustände, die ein Nukleon zu Volumen V und Impulsintervall $d\mathbf{p}$ erreichen könnte ist

$$dn = \frac{4\pi p^2 dp \cdot V}{(2\pi\hbar)^3} \quad (*)$$

für $T=0$ werden bei Zuständen bis zu einer maximalen Impuls besetzt : Fermi-Impuls p_F

$$\text{Integration von (*)} \Rightarrow n = \frac{V p_F^3}{6 \pi^2 \hbar^3}$$

2. jeder Zustand kann mit zwei Fermionen gleicher Art besetzt werden

$$\Rightarrow N = \frac{V(p_F^n)^3}{3\pi^2 t_i^3} \quad \text{und} \quad 2 \cdot \frac{V(p_F^0)^3}{3\pi^2 t_i^3}$$

$p_F^{n,p}$: Fermi-Impulse für N, P

$$\text{mit Kugelvolumen } V = \frac{4}{3} \pi R^3 = \underset{R=R_0 \text{ fm}}{\cancel{\lambda^{1/3}}} \frac{4}{3} \pi R_0^3 \text{ fm}^3$$

$$R_0 = 1,21 \text{ fm} \quad \begin{matrix} \text{aus} \\ (\text{Elektronen-} \\ \text{Streuung}) \end{matrix}$$

Für Kerne mit $Z = N = \lambda/2$ (und gleiche Prothaltlängen von P, N)

$$p_F = p_F^n = p_F^0 = \frac{\hbar}{R_0} \left(\frac{3\pi}{8} \right)^{1/3} \simeq 250 \text{ meV/c}$$

\Rightarrow Nukleonen können sich zu Kernen mit großer Impulse frei bewegen.

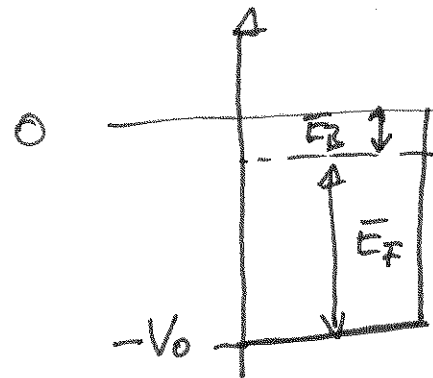
Experiment: quasi-elastische Streuung von Elektronen an Kernen gemessene Werte für p_F stimmt gut mit Fermifasmodell überein.

(5)

Energie des höchsten besetzten Zustands, die Fermi-Energie E_F ,
 bewirkt

$$\bar{E}_F = \frac{P_F^2}{2M} = \frac{(250 \text{ MeV})^2}{2 \cdot 938 \text{ MeV}/c^2} \approx 33 \text{ MeV}$$

Nukleonenmasse



nit Bindungsenergie pro Nukleon
 von $B/A \sim 7-8 \text{ MeV}$

$$V_0 \approx \bar{E}_F + E_B \approx (33 + 7) \text{ MeV} \approx 40 \text{ MeV}$$

- N.B.: Unabhangig von A ! $V \propto A$; $Z(N) \propto A$
- experimentell verifiziert $\pi(p, n)$ - Streuung exp.
- Wenn weitere Nukleone hinzugefügt werden 